

---

<https://doi.org/10.15407/dopovidi2020.06.083>  
УДК 544.142.3+546.46:56.77+621.891:621.829.31+620.194  
**О.О. Міщук<sup>1</sup>, Л.І. Коваль<sup>2</sup>,**  
**В.І. Дзюба<sup>2</sup>, В.І. Пехньо<sup>2</sup>**

<sup>1</sup> ДП “НДІ нафтопереробної та нафтохімічної промисловості “МАСМА”, Київ

<sup>2</sup> Інститут загальної та неорганічної хімії ім. В.І. Вернадського НАН України, Київ

E-mail: mishchuk@masma.ua, l\_koval@ionc.kiev.ua

## **Особливості біс-хелатних комплексів магнію(ІІ), як екологічно безпечних високоефективних змащувальних додатків нового покоління, в аспектах механохімії сталевої поверхні**

*Представлено членом-кореспондентом НАН України В.І. Пехнем*

У дослідженні виявлено особливий стан катіона магнію, з виникненням заборонених правилами відбору електронних переходів, у наношарі переходного псевдокарбіду заліза, механохімічно утвореного у складі тертиового поверхневого шару сталі. Вивчено комплексну нанотонкоплікову будову останнього. Зроблено висновок про можливість ефективної заміни мінеральних порошків серпентинітів – природних гідросилікатів магнію – синтетичними біс-хелатами магнію(ІІ) як змащувальними додатками нового покоління.

**Ключові слова:** біс-хелати магнію(ІІ), сталь, тертя, наношари, оже-спектроскопія.

Мастильні матеріали, вироблені з рослинної сировини, актуальні з погляду сучасних проблем екології, медицини, побутової робототехніки тощо і створюють альтернативу продуктам наftового походження [1–4]. Тому виникає потреба в ефективних змащувальних додатках нового покоління. Перспективними є комплекси металів життя (Mg, Ca, Cu, Mo та ін.) з β-дикарбонільними лігандами і гідроксамовими кислотами, що не вміщують шкідливих для довкілля фосфору та навіть сірки [2, 4]. Як виявилося [5], металохелати стають донорами металевого іона для механохімічних реакцій утворення тертизових шарів. Явище є унікальним з позицій структурного відновлення *in situ* (“ревіталізації”) зношених поверхонь. Світова практика “нарошування” робочих зон моторних двигунів застосуванням порошків мінералів після “фейкових” успіхів та “грубого” емпіризму акцентувала увагу на сполуках магнію, зокрема серпентинітах [6, 7] – його природних гідросилікатах.

---

Цитування: Міщук О.О., Коваль Л.І., Дзюба В.І., Пехньо В.І. Особливості біс-хелатних комплексів магнію(ІІ), як екологічно безпечних високоефективних змащувальних додатків нового покоління, в аспектах механохімії сталевої поверхні. *Допов. Нац. акад. наук Укр.* 2020. № 6. С. 83–91. <https://doi.org/10.15407/dopovidi2020.06.083>

Однак переконливого наукового обґрунтування ідей “ревіталізації” та ефективності магнієвих інгредієнтів, а також наукових засад щодо розробляння змащувальних додатків нового покоління на сьогодні все ще не існує. Усі сучасні тенденції безпосередньо дотичні до найактуальніших проблем розвитку перспективного напряму в науці про тертя та зношування металів, що стосується наномеханохімічних перетворень тертьового шару.

**Стан проблеми механохімічних перетворень тертьового шару.** На сьогодні відомо, що зносостійкий кристаломорфний тертьовий шар субмікронної товщини і оптимальний мікрорельєф тертьової поверхні є наслідками перебігу в поверхневих шарах процесів деформації від квазістатичного та динамічного стискування із зсувом, розшарування й подрібнення приповерхневих фаз, (між)поверхневого перенесення нано(мікро)фрагментів тертьової мікроструктури, деструкції молекул середовища, привнесення у тертьовий шар структурно-твірних, механохімічно активних та “вимушено” механохімічно активних елементів з їх деформаційно-активованим перерозподілом. Для сталей у зонах стиснення досягається межа Гюгоніо 13 ГПа (Hugoniot elastic limit) і для мартенситу (до 200 °C) провідними стають динамічний відпуск та поліморфні перетворення тертьового шару. Температура зростає внаслідок превалювання екзотермічних процесів як вторинний чинник.

Дифузійна структурно-енергетична теорія самоорганізації тертьової контактної зони Б.І. Костецького до механохімічно активних відносить електронегативні елементи кисень та сірку, фосфор, хлор і азот. Виділяють й інші групи. Структурно-твірні елементи (та ж сірка і вуглець [8]) є “кatalізаторами” структурування тертьового шару, але витісняються з нанопрошарків механохімічно активними елементами. Електропозитивні елементи (метали) є “вимушено” механохімічно активними. Були спроби [9] поширити це поняття на всю періодичну систему. Шляхи їх потрапляння в тертьовий шар пов’язані з (між)поверхневим перенесенням структурних нанофрагментів (від структурно-твірних елементів) із залученням нанокомпонентів середовища. “Вимушена” активність – це сприяння під впливом тиску і деформацій “склеюванню” нанофрагментів у нанокомпозит – змішаний адгезійний шар (mixing layer, milling layer, PD-шар). Його виникнення є завершенням першої стадії механохімічного утворення тертьового шару. На наступній стадії деформаційно-активовані потоки перетворюють змішаний адгезійний шар у споріднений до сталі дифузійний або навпаки. Ідея “ревіталізації” поверхонь пропонує магнієвісні мінерали [6] для практичної реалізації механохімічної трансформації в напрямку утворення “нарощеного” дифузійного шару.

За металохімічними оцінками [9], лужноземельні метали, зокрема також магній, належать до промоторів реологічно “пластичних” тертьових вторинних структур (ВС I типу). Але все ж “вимушена механохімічна” активність магнію та кальцію різна [10]. Кальцій є супутником тертьових шарів оксидного типу. За іншими результатами оже-аналізу [7], магній вибірно стабілізує псевдокарбідні структури заліза. Цементит і переходні карбіди “роздчиняються” від деформації [11], сприяючи графітизації поверхні, проте в тертьовому шарі псевдокарбідні нанопрошарки (за динамічного розкладу мартенситу) є квазістійкими до деформації та втрати стехіометрії. Але абразивно-зносостійка мікроструктура [7] вміщувала крім кисню та узгоджених профілів магнію з вуглецем ще й сірку (13–15 at. %). Через взаємодію двох структурно-твірних елементів вплив магнію неможливо трактувати однозначно.

Загалом, виникнення внутрішніх нанограниць з їх особливостями є “тонким” і все ще маловивченим фізично-хімічним ефектом у циклі перетворень тертьового шару. Ймовірно, різниця між магнієм і кальцієм у своєрідності взаємодії зі структурно-твірним елементом — вуглецем. Металевий магній, а не кальцій застосовують у виробництві чавунів як елемент, що змінює форму графітових включень у сталі. Тому “ключовий” магній — у прошарках псевдокарбідних мікроструктур тертьової поверхні за відсутності сірки (мікроструктур *B*-типу [12], ВС I типу [8]). Однак зауважено [4], що атоми біс-хелату магнію(ІІ) зосереджені тільки в адсорбційному шарі, хоча й за переважного (щодо окиснення) навуగлецовування субмікронного тертьового шару. Аналізуючи результати робіт [4] і [7], відзначимо, що в [4] все ж не була врахована певна характерна специфічність спектрів магнію, яку ілюструємо далі.

Мета роботи полягала у виявленні розподілу магнію в тертьовому шарі за умови відсутності сірки і вивчення перетворень нанограниці “змішаний адгезійний↔дифузійний” наношари для випадків нормального граничного тертя сталевої пари та біс-хелатних комплексів магнію(ІІ) як перспективних змащувальних додатків нового покоління.

**Об'єкти та методи дослідження.** Згідно з біоміметичним принципом синтезували координатні сполуки магнію(ІІ) і рідинну базу естерного типу [2–4, 13] (табл. 1). Методики синтезу біс-хелатів та етиллаурату — малов'язкого ( $2,63 \text{ mm}^2/\text{c}$ ,  $40^\circ\text{C}$ ) естера лауринової кислоти — описані в [2, 4]. Цей естер розчиняє комплекси і створює з ними мастильні композиції синтетичних олив з високим індексом в'язкості.

Механохімічні перетворення тертьових поверхонь і змащувальні властивості вивчали для сталі мартенситного класу ISO 683-17-100Cr6 (1 % мас. С, 1,5 % мас. Cr), яка відповідає сталі ШХ15 (ГОСТ 801–8), згідно з ASTM D 4172–03 (однобічне ковзання) на пристрой Falex FB-AW Test — чотирикулькова схема зразок—контртіло, однакові три стаціонарні та одна рухома загартовані кулі, HRC 62–64, діаметром 12,7 мм, 16 класу точності. Мірою протизношуvalьних властивостей є усереднений діаметр *D* слідів зношування стаціонарних куль, а антифрикційних — усереднені коефіцієнти тертя для перших і останніх 15 хв процесу ( $f_{\text{поч}}$  та  $f_{\text{кін}}$ ). Мартенситна із залишковою аустенітною структурою сталі 100Cr6 після технології загартування сприяє за умов нормального граничного тертя утворенню на поверхні кінематичного зразка тонкоплівкового об'єкта дослідження — зносостійкого шару тертьових мікроструктур *B*-типу. Їх властивості вивчали методами металографії, оптичної мікроскопії (Neophot-21), сканувальної електронної мікроскопії та енергодисперсійного електронно-зондового рентгенівського мікроаналізу, інтегрально оцінювали хімічний склад на глибину виходу гамма-квантів — приблизно 2 мкм. Тонкоплівкову будову досліджували методами оже-спектроскопії та нанорозпорошування іонами  $\text{Ar}^+$  (оже-

**Таблиця 1. Біоміметичний принцип високоефективних мастильних композицій нового покоління: “база естерного типу + біс-хелат магнію(ІІ)”**

Синтезовані компоненти	Вміст сірки	Скорочена назва
Етиллаурат (база естерного типу)	0	EtLa
Біс(додецилацетоацетато)магній(ІІ)	0	$\text{Mg}(\text{DdAcac})_2$
Біс( <i>N</i> -метилдеканогідроксамато)магній(ІІ)	0	$\text{Mg}(N\text{-MDH})_2$

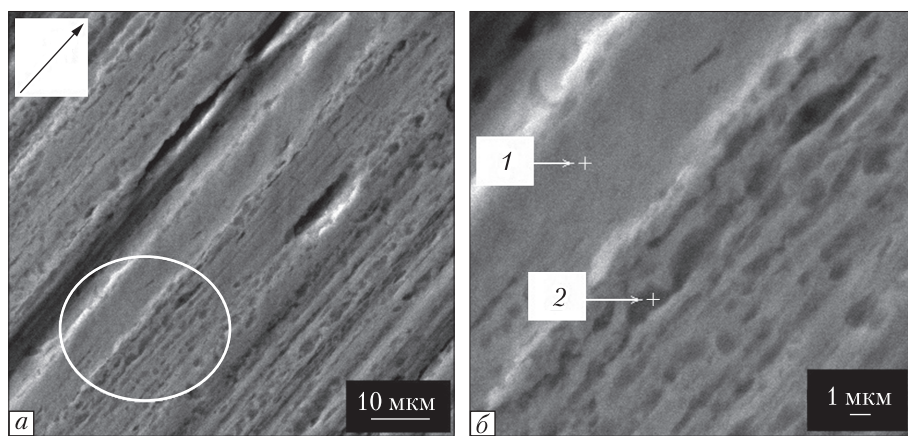
субмікрозонд JEOL JAMP-9500F та оже-мікрозонд JEOL JAMP-10S). Широкий (до 1000 мкм) однорідний пучок іонів  $\text{Ar}^+$  спрямовували під кутом вздовж смуг ковзання і проти сили тертя.

Запобігали забрудненню об'єктів сіркою. Спектральна чистота експерименту на всіх стадіях була достатньою, щоб отримати тертьові мікроструктури *B*-типу [12] без сірки. На жаль, її мікродомішка, хоча й жорстко обмежується стандартом на виготовлення, завжди присутня у вихідній сталі 100Cr6. У наших дослідженнях мікросліди сірки спостерігалися на "розігрітих" мікроділянках тертьових поверхонь. У всіх випадках її концентрація, вимірювана методом рентгенівського мікроаналізу, не перевищувала значення 0,2 % мас. (0,3 ат. %).

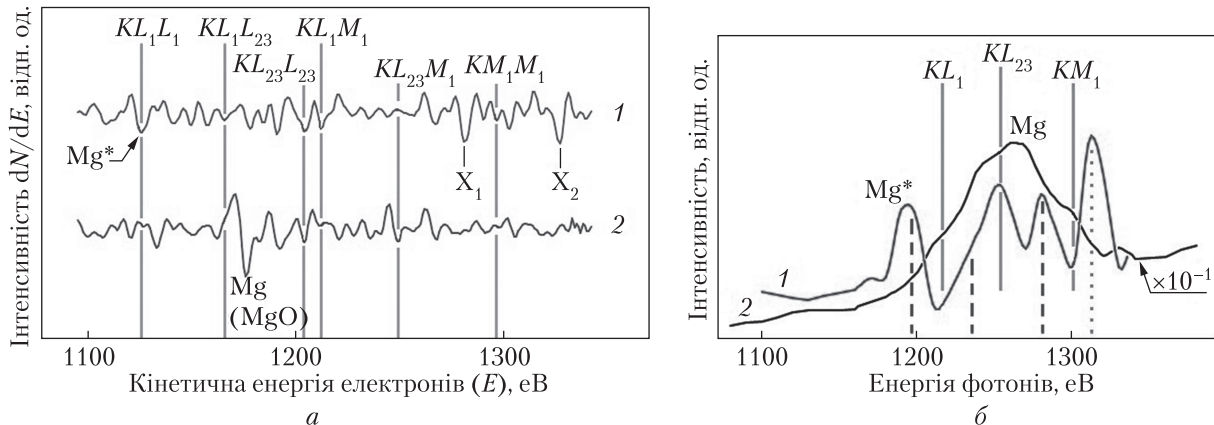
**Результати досліджень та їх обговорення.** Змащувальні властивості композицій — естерних 0,03 моль/л розчинів біс-хелатів магнію(II) — виявилися за протизношувальними ( $D = 0,53 \div 0,58$  мм) і антифрикційними ( $f = 0,046 \div 0,049$ ) характеристиками кращими порівняно зі зразками олив та ефективним [9] трикрезилфосфатом (ASTM D 4172), магнієвмісними мінеральними додатками [7] і етиллауратом (див. табл. 1) [4]. Типову ділянку тертьової поверхні сліду зношування для змащувального додатку  $\text{Mg}(\text{DdAcac})_2$  ілюструє рис. 1.

Мікроділянки 1 і 2 характеризують тертьову мікроструктуру на межі з першими проявами макропластичної деформації (див. рис. 1, *a*). Мікроділянка 1 — це типова мікроструктура *B*-типу [12], провідна за умов нормального граничного тертя металів, її аналіз у аспектах впливу магнію на механохімію сталевої поверхні і є метою роботи. Вибір мікроділянки 2 обумовлено значною концентрацією магнію (2,2 ат. %). Констатували наявність (сучасний прилад забезпечує роздільну здатність і чутливість [14]), але рентгеноспектральну "невидимість" магнію на мікроділянці 1. Для її дослідження застосовували метод оже-спектроскопії (рис. 2).

Деталізація характерних форм оже-спектрів магнію (див. рис. 2, *a*) для різних прошарків тертьової поверхні виявляє наявність двох інтенсивних спектральних ліній принципово різного типу:  $\text{Mg}^*$  (спектр 1) та  $\text{Mg}$  (спектр 2). Значна різниця у розташуванні цих ліній, яка становить 50 еВ, свідчить про те, що вони відповідають різним номенклатурним оже-перехо-



**Рис. 1.** Електронно-мікроскопічне зображення (SEI) тертьової поверхні сліду зношування стаціонарної кулі, утвореного впродовж 60 хв тертя в естерному розчині  $\text{Mg}(\text{DdAcac})_2$ : *a* — тертьова поверхня в центрі сліду; *b* — мікроструктура виділеної ділянки; 1, 2 — центри особливих мікроділянок різного типу. Стрілка вказує напрямок сили тертя



**Рис. 2.** Характерні оже- (a) і рентгенівські (b) спектри в діапазоні  $Mg K_{\alpha}$  випромінювання для випадку тертьової мікроділянки 1 (спектр 1) та 2 (спектр 2). Спектри 1 і 2 зареєстровано за однакових умов: рентгенівські — перед розпорошуванням; оже- — у підповерхневому прошарку з максимальною амплітудою ліній  $Mg^*$  та  $Mg$  ( $MgO$ ). Неперервні вертикалі відповідають позначенням усіх (у тому числі заборонених) діаграмних переходів  $Mg$  для  $K$  (1s) вакансії (враховано зсув від диференціювання реальних оже-ліній;  $KL_{23}$  — лінія  $Mg K_{\alpha}$ )

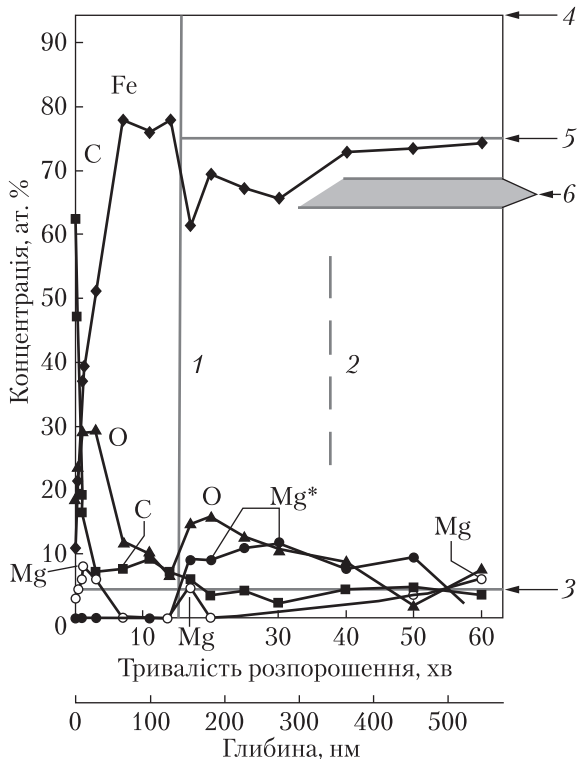
дам. Порівняння же вказаних оже-ліній з діаграмними доводить, що лінія  $Mg^*$  належить до маломовірних оже-переходів типу  $Mg KL_1 L_1$ , тоді як для типової лінії  $Mg$  [15] це оже-переходи  $Mg KL_{23} L_{23}$ , зсунуті під впливом релаксаційних і кореляційних ефектів.

У випадку деталізації рентгенівських спектрів (див. рис. 2, б) була виявлено наявність низькоінтенсивної, повторюваної для мікроструктур  $B$ -типу загалом, широкої комплексної “особливості” (спектр 1). Штриховими вертикалями помічено діаграмні лінії  $Mg$ , зсунуті до менших енергій на 19,4 еВ. Okремі піки спектра 1 можна пов’язати із забороненими  $KL_1$ -та  $KM_1$ -переходами. Величина зсуву  $KL_1$ -лінії, позначеній як  $Mg^*$ , дорівнює 19,4 еВ, що відповідає різниці енергій релаксації  $K$  (1s) та  $L_1$  (2s) рівнів у іоні  $Mg^+$  порівняно з нейтральним атомом. Заборонена валентна лінія  $KM_1$  (пунктирна вертикаль) зсунута до більших енергій, що може бути наслідком кореляційних та shake-up процесів. Вона співвідноситься й з лінією типу  $Mg K_{\beta}$ . Її наявність корелює з присутністю невідомих піків  $X_1$  та  $X_2$  на оже-спектрі. Інтенсивність типової емісійної лінії магнію  $KL_{23}$  ( $Mg K_{\alpha}$ ) (спектр 1) істотно зменшена.

Як свідчить аналіз одержаних даних, у певних прошарках мікроструктури  $B$ -типу (мікроділянка 1) група атомів  $Mg^*$  зберігається, ймовірно, в особливому стані фізичного іона  $Mg^+$ , і для них нівелювані переходи, що відповідають каналу розкладу 1s вакансії за участю  $L_{23}(2p)$ -рівнів, натомість відбуваються за участю  $L_1(2s)$ -рівня магнію, що заборонено правилами відбору.

За інтенсивністю оже-лінія  $Mg^*$  (див. рис. 2, а) відповідає концентрації  $Mg^*$ , яка є сумірною з концентрацією іонів  $Mg$  (для мікроділянки 2). Склад тертьового шару, комплексно оцінений мікрозондовими методами рентгенівського та оже-аналізу, наведено в табл. 2.

Порівняння мікроділянок 1 і 2 свідчить про їх різний фізично-хімічний стан, хоча сам етиллаурат (див. табл. 1) насичує тертьовий шар вуглецем [2, 4]. Оже-профілювання на мікроділянці 2 під адсорбційним виявило шар наносуміші оксидів заліза і  $Mg$  (до 14,7 ат. %). Лінії  $Mg^*$  не зареєстровано, але є кальцій в межах 0–0,8 ат. %. Нами вперше



**Рис. 3.** Профілі розподілу головних структурно-твірних та механохімічно активних елементів у тертьово-му поверхневому шарі мікроділянки 1 (див. рис. 1, б) для сліду зношування стаціонарної сталевої кулі після тертя в середовищі синтезованого естерного розчину біс-хелату  $\text{Mg}(\text{DdAcac})_2$ : 1 – нанограниця між різними прошарками тертьового поверхневого шару (глибина 140 нм); 2 – розмита нанограниця (в околі 340 нм). Горизонтальні лінії: 3, 4 – рівень концентрації вуглецю і заліза в об'ємі сталі 100Cr6 відповідно; 5 – рівень концентрації заліза в цементиті  $\text{Fe}_3\text{C}$ ; 6 – діапазон концентрацій заліза у складі перехідних карбідів типу  $\epsilon$ -карбіду заліза

виявлено магній в субмікронному оксидному шарі, що є характерним для кальцію [10]. Цей результат ще потребує вивчення. Будова ж тертьового шару на мікроділянці 1 складніша (рис. 3).

Мікроструктура *B*-типу (мікроділянка 1) характеризується наношаруватою будовою тертьового шару. Під графітізованим (вуглець 62,4 ат. %) знаходиться навуглецований

(до 9,2 ат. %) та окиснений “приповерхневий наношар” (блізько 130 нм). Магній ( $\text{MgO}$ ) сюди не входить, але він утворює сегрегації з боку поверхні та нанограниці 1. Між нанограницями 1 і 2 виявляється окиснений “перехідний наношар” перехідного карбіду заліза до 200 нм. Іони Mg тут також відсутні, але є домішка  $\text{Mg}^*$  в межах 9,0–11,6 ат. %. Під нанограницею 2 знаходитьться “підповерхневий наношар” окисненого і легованого магнієм цементиту (понад 210 нм). У ньому концентрація  $\text{Mg}^*$  зменшується до зникнення, натомість вміст Mg зростає до 6,9 ат. %. Зростають і “коливання” (до 7,3 ат. %) концентрації хрому (не проілюстровано). Концентрація ж кальцію хаотично змінюється в діапазоні 0–0,4 ат. %, але він відсутній між нанограницями 1 та 2. У прошарках, отриманих за відсутності сірки, проявилася очікувана, але досі не зареєстрована тенденція – явна кореляція магній–кисень.

**Таблиця 2.** Порівняння осібливих мікроділянок тертьової поверхні<sup>1</sup>.  
Мастильна композиція – естерний розчин біс-хелату  $\text{Mg}(\text{DdAcac})_2$

Поверхнева мікроділянка (див. рис. 1, б)	Тип [12] і диференціювання мікроструктури	Інтегральний склад мікроділянки <sup>2</sup> , ат. %							
		Fe	Cr	C	O	S	Mg	$\text{Mg}^*$	Інші
1 <sup>3</sup>	<i>B</i> -тип (–)	79,8	1,3	13,3	2,9	0	0,2	(2)	0,5
2	<i>B</i> -тип (1,54 мкм)	45,8	1,0	18,3	32,2	0,2	2,2	0	0,3

<sup>1</sup> Осьове навантаження 392 Н, швидкість  $20 \text{ см}^{-1}$ , термостабілізація  $75^\circ\text{C}$ , тривалість 60 хв.

<sup>2</sup> Метод енергодисперсійного електронно-зондового рентгенівського мікроаналізу.

<sup>3</sup> Зроблено поправку на вміст  $\text{Mg}^*$  згідно з результатами оже-профілювання тертьового шару (рис. 3) і порівняльного мікроаналізу (див. рис. 2, б).

Нанограниця 1 є межею “змішаний адгезійний↔дифузійний” наношари. Реологічні ж властивості та ефект “ревіталізації” тертьового шару обумовлені “реакційністю” наношару з катіоном Mg<sup>+</sup>. Отже, біс-хелати магнію(ІІ) [4, 13] з технологічних позицій стають реальною альтернативою порошкам мінералів з їх негативною мікроабразивністю [7]. Результати дослідження свідчать про потужний потенціал хімії координаційних комплексних сполук у експериментальному вивченні проблем механохімії тертьової поверхні.

**Висновки.** Досліджено зношені поверхні загартованих зразків сталі мартенситного класу після тертя в естерних розчинах біс-хелатів магнію(ІІ) і виявлено ефекти їх механохімічного (нетермічного) насищення катіоном магнію. Його розподіл у квазірівноважних прошарках псевдокарбідних і нанооксидних сполук заліза в шарі тертьового нано(мікро)-композита Fe—С—О—Mg на субмікронних глибинах зареєстровано та вивчено вперше за відсутності сірки. Магній “потіснив” вуглець та “розкиснив” тертьовий шар, зв’язуючи кисень та відновлюючи залізо, що забезпечило вищу в’язкість структури.

У механохімічній псевдокарбідній структурі (ВС I типу) магній знаходиться в особливому фізично-хімічному стані, пояснення природи якого потребує подальшого дослідження. Цей стан проявляється у виникненні електронних переходів, заборонених правилами відбору.

Підтверджено трибологічну ефективність комплексів біс(додецилацетоацетато)- та біс(*N*-метилдеканогідроксамато)магнію(ІІ) як перспективних змащувальних додатків нового покоління до сучасних екологічно чистих мастильних матеріалів, які здатні конкурувати з природними серпентинітами, але на відміну від них є розчинними в органічному середовищі.

#### ЦИТОВАНА ЛІТЕРАТУРА

1. Денежный Дж.Т. Нанотехнологические и нанотрибологические аспекты смазок. Харьков: ACCA, 2016. 378 с.
2. Dzyuba V.I., Koval L.I., Ilnitska O.L., Pekhnyo V.I. Biomimetic approach to the design of antiwear additives to eco-friendly lubricating compositions. *Фізика і хімія твердого тіла*. 2011. **12**, № 2. С. 517–520.
3. Morina A., Liskiewicz T., Neville A. Designing new lubricant additives using biomimetic. *WIT Transact. Ecol. Environ.* 2006. **87**. Р. 157–166. <https://doi.org/10.2495/DN060151>
4. Коваль Л.І., Дзюба В.І., Ільницька О.Л., Пехньо В.І., Міщук О.О. Координаційні сполуки металів життя та біолігандів як модельні додатки до екобезпеччих мастильних композицій. *Хімія, фізика та технологія поверхні*. 2015. **6**, № 1. С. 147–164. <https://doi.org/10.15407/hftp06.01.147>
5. Пехньо В.І., Коваль Л.І., Дзюба В.І., Ільницька О.Л. Ефект трибодифузії центрального атому комплексу-присадки з утворенням протизношувальних гібриднихnanoструктур. *Прикладная физико-неорганическая химия*: (Тез. докл. Междунар. конф.) (Севастополь, 2–7 окт. 2011). Севастополь, 2011. С. 60.
6. Yu H., Xu Y., Shi P., Wang H., Wei M., Zhao K., Xu B. Microstructure, mechanical properties and tribological behaviour of tribofilm generated from natural serpentine mineral powder as lubricant additive. *Wear*. 2013. **297**, Iss. 1–2. Р. 802–810. <https://doi.org/10.1016/j.wear.2012.10.013>
7. Міщук О.О., Юдіна В.В., Цаплій М.П. Проблеми механохімічної активності мікродисперсного гідро- силікату в контактній зоні сталевої пари тертя. *Проблеми тертя та зношування*. 2013. № 1. С. 4–20. [https://doi.org/10.18372/0370-2197.1\(60\).5764](https://doi.org/10.18372/0370-2197.1(60).5764)
8. Міщук О.О. Вторинні структури тертьових поверхонь металу: Дослідження методами електронної спектроскопії. *Сучасні технології промислового комплексу: базові процесні інновації*: Матеріали IV Міжнар. наук.-практ. конф. (Херсон, 12–16 вересня 2018). Херсон: ХНТУ, 2018. С. 27–31.
9. Karaulov A.K., Cherednichenko G.I., Romanov V.S. et.al. Tribological problems of surfactant application in lubricants. *Surfactant: Transact. World Congress*, D.-A. (Munchen, 1984). Munchen, 1984. Р. 237–246.

10. Міщук О.О., Ярмолюк Б.М., Велігорська Ю.В., Коваль Л.І., Дзюба В.І. Рольова відмінність магнію та кальцію за умов механохімічної релаксації сталевих поверхонь у зоні тертя. *Сучасні технології промислового комплексу-2017: Матеріали III Міжнар. наук.-практ. конф.* (Херсон, 12–17 вер. 2017). Херсон: ХНТУ, 2017. С. 181–182.
11. Белоус М.В., Черепин В.Т., Васильєв М.А. Превращения при отпуске стали. Москва: Металлургия, 1973. 232 с.
12. Міщук О.О., Дзюба В.І., Коваль Л.І., Телемко О.В., Пехньо В.І. Механохімічні перетворення сталевих поверхонь тертя під впливом вільних від сірки поверхнево-активних комплексів молібдену. *Проблеми тертя та зношування*. 2012. Вип. 57. С. 256–272. <https://doi.org/10.18372/0370-2197.57.3609>
13. Koval L.I., Dzyuba V.I., Bon V.V., Ilnitska O.L., Pekhnyo V.I. Synthesis and structure of anhydrous complexes of magnesium(II) with  $\beta$ -ketoesters of higher alcohols. *Polyhedron*. 2009. **28**, Iss. 13. P. 2698–2702. <https://doi.org/10.1016/j.poly.2009.05.034>
14. Lawniczak-Jablonska K., Kachniarz Ja., Spolnik Z., Libera Jo., Dynowska E., Nadolny A., Sadowski Ja. The use of Mn La line chemical effects in X-ray analysis to probe sample homogeneity. *J. Anal. Atom. Spectrom.* 1999. **14**, Iss. 3. P. 461–464. <https://doi.org/10.1039/A807431C>
15. Иванов В.Ш., Брытов И.А., Кораблев В.В., Козырева Н.А., Кузнецова Т.В., Цукерман Е.А., Киселева И.И. Атлас оже-спектров химических элементов и их соединений: Деп. рукоп. № 6359-В86 / Московский химико-технологический институт. Москва: ЦИОНТ ПИК ВИНТИ, 1986. 201 с.

Надійшло до редакції 16.03.2020

## REFERENCES

1. Denezhny, J. T. (2016). Nanotechnological and nanotribological aspects of greases. Kharkov: ASSA (in Russian).
2. Dzyuba, V. I., Koval, L. I., Ilnitska, O. L. & Pekhnyo, V. I. (2011). Biomimetic approach to the design of antiwear additives to eco-friendly lubricating compositions. *Phys. Chem. Solid State*, 12, No. 2, pp. 517-520.
3. Morina, A., Liskiewicz, T. & Neville, A. (2006). Designing new lubricant additives using biomimetic. *WIT Transact. Ecol. Environ.*, 87, pp. 157-166. <https://doi.org/10.2495/DN060151>
4. Koval, L. I., Dzyuba, V. I., Ilnitska, O. L., Pekhnyo, V. I. & Mishchuk, O. A. (2015). Coordination compounds of life metals and bioligands as model additives to eco-friendly lubricating compositions. *Khimia, Fizyka ta Tekhnologiya Poverkhni*, 6, No. 1, pp. 147-164 (in Ukrainian). <https://doi.org/10.15407/hftp06.01.147>
5. Pekhnyo, V. I., Koval, L. I., Dzyuba, V. I. & Ilnitska, O. L. (2011, October). Tribodiffusive effect of central atom of a complex additive with a creation of antiwear hybrid nanostructures. *Proceedings of the International Conference Applied physical-inorganic chemistry*, (pp. 60), Sevastopol, Ukraine (in Ukrainian).
6. Yu, H., Xu, Y., Shi, P., Wang, H., Wei, M., Zhao, K. & Xu, B. (2013). Microstructure, mechanical properties and tribological behaviour of tribofilm generated from natural serpentine mineral powder as lubricant additive. *Wear*, 297, Iss. 1-2, pp. 802-810. <https://doi.org/10.1016/j.wear.2012.10.013>
7. Mishchuk, O. A., Yudina, V. V. & Tsapliy, M. P. (2013). Problems of tribocatalytic activity of micro-dispersive hydrosilicate at contact zone of a steel friction pair. *Probl. Friction Wear*, No. 1, pp. 4-20 (in Ukrainian). [https://doi.org/10.18372/0370-2197.1\(60\).5764](https://doi.org/10.18372/0370-2197.1(60).5764)
8. Mishchuk, O. A. (2018, September). Secondary structures on friction surfaces of metal: Investigations by the method of electron spectroscopy. *Proceedings of the IV International Scientific Practical Conference Modern technologies of industrial complex: basic process innovations* (pp. 27-31), Kherson: KhNTU (in Ukrainian).
9. Karaulov, A. K., Cherednichenko, G. I., Romanov, V. S. & et al. (1984). Tribological problems of surfactant application in lubricants. *Proceedings of the World Congress Surfactant*, D.-A, (pp. 237-246), Munchen.
10. Mishchuk, O. A., Yarmoliuk, B. M., Veligorska, Yu. V., Koval, L. I. & Dzyuba, V. I. (2017, September). A role difference of magnesium and calcium in conditions of tribocatalytic relaxation of steel surfaces in the friction zone. *Proceedings of the III International Scientific Practical Conference Modern technologies of industrial complex-2017*, (pp. 181-182), Kherson: KhNTU (in Ukrainian).
11. Belous, M. V., Cherepin, V. T. & Vasiliev, M. A. (1973). Transformations at the tempering of steel. Moscow: Metallurgia (in Russian).
12. Mishchuk, O. A., Dzyuba, V. I., Koval, L. I., Telemko, O. V. & Pekhnyo, V. I. (2012). Tribocatalytic transformation of steel friction surfaces at action of non-sulfur surface-active complexes of molybdenum. *Problemy Tertia ta Znoshuvannya*, Iss. 57, pp. 256-272 (in Ukrainian). <https://doi.org/10.18372/0370-2197.57.3609>

13. Koval, L. I., Dzyuba, V. I., Bon, V. V., Iluntska, O. L. & Pekhnyo, V. I. (2009). Synthesis and structure of anhydrous complexes of magnesium(II) with  $\beta$ -ketoesters of higher alcohols. *Polyhedron*, 28, Iss. 13, pp. 2698-2702. <https://doi.org/10.1016/j.poly.2009.05.034>
14. Lawniczak-Jablonska, K., Kachniarz, Ja., Spolnik, Z., Libera, Jo., Dynowska, E., Nadolny, A. & Sadowski, Ja. (1999). The use of Mn La line chemical effects in X-ray analysis to probe sample homogeneity. *J. Anal. Atom. Spectrom.*, 14, Iss. 3, pp. 461-464. <https://doi.org/10.1039/A807431C>
15. Ivanov, V. Sh., Brytov, I. A., Korablev, V. V., Kozyreva, N. A., Kuznetsova, T. V., Tsukerman, Ye. A. & Kiseleva, I. I. (1986). *Atlas of Auger spectra for chemical elements and their compounds: Deposited Manuscript No. 6359-B86 / Moscow Chemical Technology Institute. Moscow: TsIONT PIK VINITI (in Russian).*

Received 16.03.2020

*O.A. Мищук<sup>1</sup>, Л.І. Ковал<sup>2</sup>,  
В.І. Дзюба<sup>2</sup>, В.І. Пехньо<sup>2</sup>*

<sup>1</sup> ГП “НИИ нефтеперерабатывающей и нефтехимической промышленности “МАСМА”, Киев

<sup>2</sup> Институт общей и неорганической химии им. В.И. Вернадского НАН Украины, Киев

E-mail: mishchuk@masma.ua, l\_koval@ionc.kiev.ua

**ОСОБЕННОСТИ БИС-ХЕЛАТНЫХ КОМПЛЕКСОВ МАГНИЯ(ІІ),  
КАК ЭКОЛОГИЧЕСКИ БЕЗОПАСНЫХ ВЫСОКОЭФФЕКТИВНЫХ  
СМАЗОЧНЫХ ДОБАВОК НОВОГО ПОКОЛЕНИЯ,  
В АСПЕКТАХ МЕХАНОХИМИИ СТАЛЬНОЙ ПОВЕРХНОСТИ**

В исследовании обнаружено особенное состояние катиона магния, с появлением запрещенных правилами отбора электронных переходов, в нанослойе переходного псевдокарбida железа, механохимически образованного в составе поверхностного слоя трения стали. Изучено комплексное нанотонкопленочное строение последнего. Сделан вывод о возможности эффективной замены минеральных порошков серпентинитов — природных гидросиликатов магния — синтетическими бис-хелатами магния(ІІ) как смазочными добавками нового поколения.

**Ключевые слова:** *бис-хелаты магния(ІІ), сталь, трение, нанослой, оже-спектроскопия.*

*O.A. Mishchuk<sup>1</sup>, L.I. Koval<sup>2</sup>,  
V.I. Dzyuba<sup>2</sup>, V.I. Pekhnyo<sup>2</sup>*

<sup>1</sup> Scientific and Research Institute for Crude Oil and Petrochemical Refining “MASMA”, Kyiv

<sup>2</sup> V.I. Vernadsky Institute of General and Inorganic Chemistry of the NAS of Ukraine, Kyiv

E-mail: mishchuk@masma.ua, l\_koval@ionc.kiev.ua

**PECULIARITIES OF BIS-CHELATE COMPLEXES OF MAGNESIUM(ІІ)  
AS ECOLOGICALLY SAFE AND HIGHLY EFFECTIVE LUBRICATING ADDITIVES  
OF NEW GENERATION IN ASPECTS OF TRIBOCHEMISTRY OF STEEL SURFACE**

The specific character of magnesium cation in the nanolayer of iron transitive pseudo-carbide which is created tribochimically in the composition of tribofilm of the steel friction surface is found. This specific character of magnesium appears with the emergence of intra-atomic electronic transitions which are forbidden by the selection rules. In particular, the magnesium cation can be used as an atomic probe to study the construction and origin of a friction surface layer (tribofilm). This work concerns the nanomechanical-chemical transformations of a steel friction surface layer of submicron thickness and the creation of a tribofilm. The complex nanothin-layer structure of the tribofilm is examined by the methods of SEM, EPMA, AES (submicroprobe), and argon ion nano-etching. It is found that the metal chelates which are synthesized by the authors, are the donors of a metal cation to a structure of quasi-equilibrium under-surface-friction nanolayers of iron pseudo-carbide and nano-oxide compounds. Finally, a conclusion of the opportunity to alternate effectively the mineral powders of serpentine — natural magnesium hydrosilicate — by the synthetic bis-chelate complexes of magnesium(ІІ) as lubricating additives of a new generation is made.

**Keywords:** *bis-chelates of magnesium(ІІ), steel, friction, nanolayers, Auger spectroscopy.*